



F-9060

Vista general de los relieves hercínicos desde los alrededores de Santo Tomé del Puerto



F-9061

Pico Cebollera en las inmediaciones de Somosierra. Precámbrico-Paleozoico
(Unidades 3 a 6)



F-9062

Ortoneises glandulares. Unidad 3. Ctra. Segovia en las proximidades de Sigüero



F-9063

Detalle de la foto anterior. Unidad 3



F-9064

Leuconeises. (Unidad 4) aflorantes cerca de Castroserna de Arriba en el
borde meridional de la Hoja.



F-9065 Metasedimentos (Unidad 6) formando pliegues menores. Arroyo de la Garganta.



F-9066

Afloramiento de Tonalitas (Unidad 2) en las proximidades de Tejadilla.



F-9067

Detalle de la foto anterior. Ventosilla



F-9068

Afloramiento de la Fm Arenas de Utrillas (Unidad 7) en las proximidades de Sepúlveda.



F-9069

Contacto neto entre las Fm Arenas y arcillas de Segovia (Unidad 10) y la Fm Dolomias tableadas del Caballar



F-9070

Estratificación cruzada bajo ángulo y estructuras de ola en la unidad 12.
Fm. Calizas y dolomías de Castrojimeno.



F-9071

Dolomías masivas (Unidad 13) en el río Duratón



F-9072

Dolomías tableadas (Unidad 14) a techo de las dolomías masivas cerca del molino de la Giriega



F-9073 Terminos superiores del Cretácico en la margen izquierda de la Hoz del Duratón. (Unidades 13 a 15).



F-9074

Unidad 14. Mb. Dolomías de Peñatravesa y Unidad 15. Fm. Dolomias y margas del Valle de Tabladillo cerca del límite occidental de la Hoja.



F-9075 Fm. Dolomías y margas de Valle de Tabladillo. Unidad 15. en las proximidades de Castroserna de Arriba.



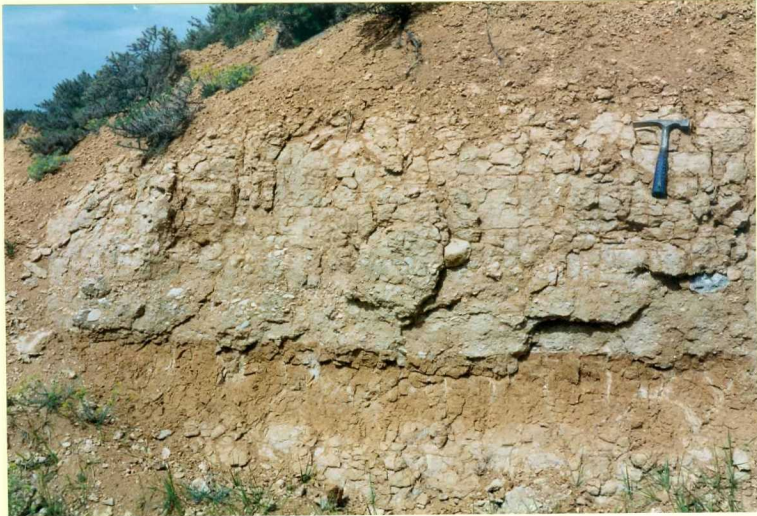
F-9076

Conglomerados calcáreos. Unidad 18. Oligoceno sup-Mioceno inferior
discordante sobre el Cretácico Superior cerca de Consuegra de Murera



F-9077

Canal conglomerático edafizado en la Unidad 19 en las proximidades de Duruelo. Abanico de Santa Marta.



F-9078

Fangos edafizados y paleosuelos intercalado en la Unidad 20.



F-9079

Vista general de la Unidad 21 en Ventosilla. Facies rojas de Perorrubio.



F-9080

Detalle de los fangos edafizados y paleosuelos de la Unidad 21.



F-9082 Facies rojas de Perorrubio (Unidad 21). Carretera de Cerezo de Abajo a Cuellar en las proximidades de la desviación a La Matilla



F-9083

Fallas distensivas afectando a la Unidad 21 en Perorrubio



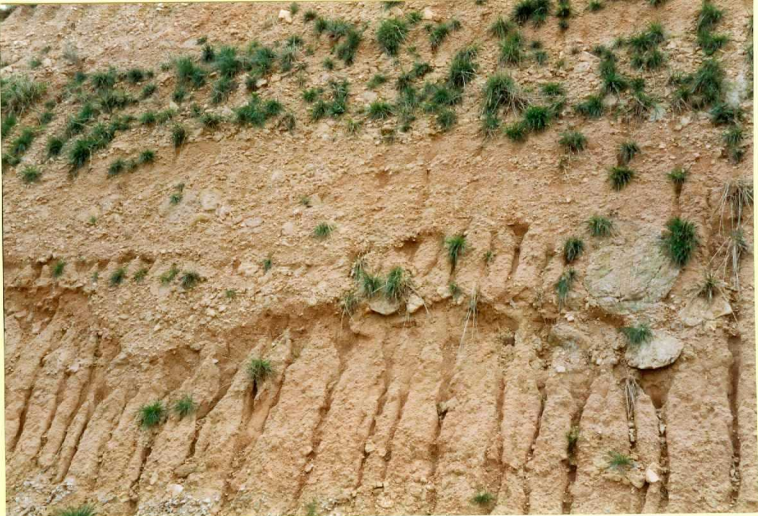
F-9084

Techo de la Unidad 21. Contacto con los depósitos detríticos suprayacentes
(Abanico de Riaza).



F-9085

Unidad 24. Abanico de Somosierra en las proximidades de Cerezo de Abajo



F-9086

Detalle de la Foto anterior. Unidad 24.



F-9087

Vista general del Abanico de Riaza. Al fondo el cordal de El Cervunal



F-9088

Aspecto característico de la unidad 24 en las proximidades de Soto de Sepúlveda



F-9089

Alternancia de gravas y lutitas. Unidad 24b y relieves acarcavados en las mismas.



F-9090

Parte superior de la zona proximal del Abanico de Riaza (Unidad 24).
Carretera a Riaza.



F-9091

Zonas distales del Abanico de Riaza (Unidad 24c). Abanico de Somosierra (Unidad 23).



F-9092

Detalle de los fangos en las zonas distales del Abanico de Riaza (Unidad 24c)



F-9093

Raña (Unidad 26) en contacto con el Abanico de Riaza. Obsérvese la fuerte paleoalteración que afecta a la serie infrayacente



F-9094

Margen izquierda del Rio Serrano. Desarrollo y degradación de distintos niveles de terrazas escalonadas en dicho margen.



F-9095

Vista general de gran parte de la Hoja desde las inmediaciones de Somosierra



F-9096

Meandro abandonado en la Hoz el rio Duratón



F-9097

Depósitos de arenas eólicas en las proximidades de Sebulcor



F-9098

Morfología característica de la Hoz del Río Duratón



F-9099

Pliegue de Sepúlveda



F-9100 Vista general del cordal de El Cervunal entre el Puerto de la Quesera y el de Somosierra



F-9101 Arquitectura del mesozoico en la Hoz del Duratón